

чивания, проводится расчет диаметра вала и условий прочности и жесткости.

Третья задача соответствует разделу изгиб и преследует цель определения реакций в опорах, построения эпюры изгибающих моментов и определение значения осевого момента сопротивления.

Четвертая задача содержит шесть характерных вариантов соединения деталей и в ней дается методика определения основных элементов соединения. Варианты имеют место направленность и могут быть использованы при курсовом и дипломном проектировании.

В каждой задаче даются расчетные схемы, исходные данные по варианту задания и приводится подробная методика расчета реакций опор и построения эпюр внутренних сил, напряжений и перемещений.

## 1. ЗАДАЧА НА РАСТЯЖЕНИЕ-СЖАТИЕ

### Варианты заданий

Цель задания: определение внутренних сил в сечениях элементов стержня переменной площади и длины, а также напряжений и перемещений по длине стержня под действием внешних сил, приложенных в различных точках исследуемого стержня.

Исходная обобщенная расчетная схема стержня изображена на рис. 1.1.

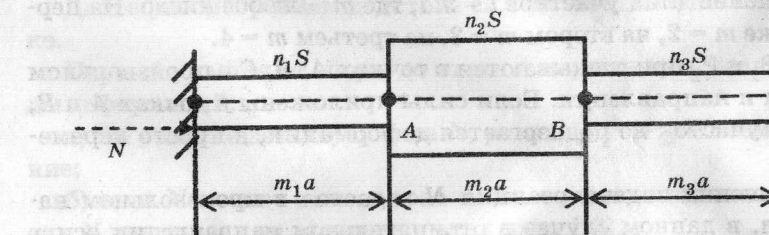


Рис. 1.1. Обобщённая схема задачи

Исходные данные для элементов конструкции стержня приведены в табл. 1.1.

Таблица 1.1

#### Исходные данные для расчета

| №                | 1   | 2   | 3   | 4   | 5   | 6   | 7   | 8   | 9   | 10  |
|------------------|-----|-----|-----|-----|-----|-----|-----|-----|-----|-----|
| $a, \text{мм}$   | 10  | 12  | 14  | 16  | 12  | 20  | 22  | 24  | 26  | 28  |
| $S, \text{мм}^2$ | 1   | 2   | 3   | 4   | 5   | 6   | 7   | 8   | 9   | 10  |
| $P_1, H$         | 100 | 120 | 140 | 150 | 160 | 180 | 200 | 210 | 240 | 260 |
| $P_2, H$         | 250 | 200 | 300 | 100 | 200 | 300 | 150 | 400 | 300 | 200 |

| №                | 11 | 12 | 13 | 14 | 15 | 16 | 17 | 18 | 19 | 20 |
|------------------|----|----|----|----|----|----|----|----|----|----|
| $a, \text{мм}$   | 30 | 32 | 34 | 34 | 38 | 40 | 42 | 44 | 46 | 48 |
| $S, \text{мм}^2$ | 1  | 2  | 3  | 4  | 5  | 6  | 7  | 8  | 9  | 10 |

Положение приложенных сил  $P_1$  и  $P_2$  и их направления (точки A, B, C) и значения коэффициентов  $n_1, n_2, n_3$  и  $m_1, m_2, m_3$  задаются в каждом варианте преподавателем.

### Пример решения задачи

В задаче рассматривается единая расчетная схема стержня из трех участков с различными параметрами длины  $a$  и площади сечения  $S$ . Точки приложения сил  $P_1$  и  $P_2$  и их направления вариируются. Под схемой оставляют свободное место для построения эпюра внутренних сил  $N$ , напряжений на участке  $c$  и перемещений  $\Delta l_i$  на соответствующем участке [1–4].

Рассмотрим пример, когда сечение на отдельных участках задаются в виде  $S = nS_3$ .  $S_3$  площадь дана в варианте,  $n$  выбирается по смыслу. На первом участке  $n = 0,2$ , на втором  $n = 2$ , на третьем  $n = 1$ . Значение длин участков  $l = ma$ , где  $m$  – любое число. На первом участке  $m = 2$ , на втором  $m = 3$ , на третьем  $m = 4$ .

Силы  $P_1$  и  $P_2$  прикладываются в точках  $A$ ,  $B$ ,  $C$  в произвольном сочетании и направлении. Если силы приложены в точках  $A$  и  $B$ , то третий участок не подвергается деформации, а просто перемещается.

При решении задачи реакция  $N$  задается в произвольном направлении, в данном случае в отрицательном направлении оси  $x$  (рис. 1.2).

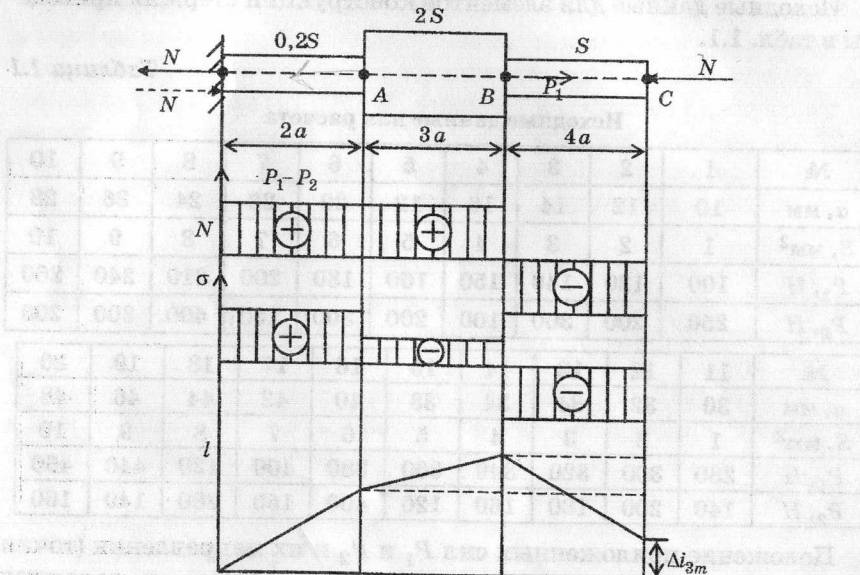


Рис. 1.2. Графическое представление результатов решения задачи

Реакция  $N$  находится из условия равновесия. Сумма всех сил  $x_i$ , действующих по оси  $x$  равняется нулю

$$\sum_{i=1}^n x_i = 0.$$

В нашем случае количество сил равно трем. Имеем  $-N + P_1 - P_2 = 0$ . Определяем реакцию  $N$ .  $N = P_1 - P_2$ .

Если реакция положительная,  $P_1 > P_2$ , то ее направление верно, если реакция  $N$  отрицательная,  $P_2 > P_1$ , то необходимо поменять ее направление как показано штриховой линией.

Далее рассматриваем действие сил на каждом отдельном участке.

Первый участок от опоры до точки  $A$  может иметь различные виды деформаций:

- На участке действует сила  $N$ , равная  $P_1 - P_2$ . Имеем растяжение;
- если  $N$  меняет свое направление, то имеем сжатие. На эпюре сил  $N$  учитываем ее значение и знак (рис. 1.3).

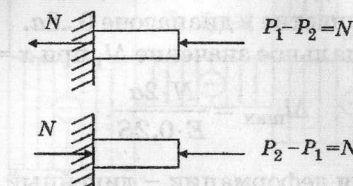


Рис. 1.3. Виды деформаций в зависимости от знака  $N$ : а) деформация растяжения; б) деформация сжатия

Далее рассматриваем участок от  $A$  до  $B$  (рис. 1.4).

Поскольку в точке  $A$  нет приложенных сил, то по правилу переноса сил вдоль линии ее действия переносим реакцию  $N$  в точку  $A$ . В точке  $B$  тоже имеем  $N$ .

На эпюре сил на первом и втором участке действует одинаковая сила  $N = P_1 - P_2$  – положительная. Штрихуются вертикальными линиями.

На третьем участке имеем значение сил (рис. 1.5).



Рис. 1.4. Деформация растяжения

Рис. 1.5. Деформация сжатия

В точке  $B$  действует сумма сил  $N$  и  $P_1$  с учетом их знаков. На третьем участке имеем сжатие силой  $P_2$ , знак минус. Напряжение на каждом участке

$$\sigma_i = \frac{N_i}{F_i}.$$

На первом участке  $\sigma_1 = \frac{P_1 - P_2}{0,2S}$ ;

на втором участке  $\sigma_2 = \frac{P_1 - P_2}{2S}$ ;

на третьем участке  $\sigma_3 = -\frac{P_2}{S}$ .

Очевидно, что напряжение на первом участке максимальное. Далее строим эпюру перемещений.

При задании координаты  $x$  вдоль оси стержня деформация

$$\Delta l(x) = \frac{Nx}{EF},$$

где  $E$  – модуль упругости, для стали  $45 - 2,15 \cdot 10^5 \text{ Н/мм}^2$ . Координата  $x$  меняется на первом участке в диапазоне  $0 \dots 2a$ .

Определяем максимальное значение  $\Delta l_1$  при  $x = 2a$ . Получаем

$$\Delta l_{\max} = \frac{N \cdot 2a}{E \cdot 0,2S}.$$

Характер изменения деформации – линейный. Если точка  $A$  переместилась на  $\Delta l_{1\max}$ , то все точки стержня на втором и третьем участке также перемещаются на  $\Delta l_{1\max}$ , что показано на эпюре перемещений штриховой линией, параллельной оси  $x$ .

Перемещение на втором участке соответственно

$$\Delta l_{2\max} = \Delta l_{1\max} + \frac{N \cdot 3a}{E 2S}.$$

Наклон прямой на втором участке меньше, поскольку площадь в 10 раз больше по заданию, а длина увеличивается незначительно.

На третьем участке сила меняет знак

$$\Delta l_{3\max} = \Delta l_{2\max} - \frac{P_2 \cdot 4a}{ES}.$$

С точки зрения жесткости важно значение деформации в точке  $B$ . Оно максимальное.

Если  $P_2 > P_1$ , то имеем другой характер изменения внутренних сил  $N$ .

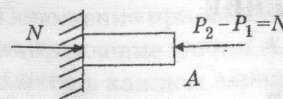


Рис. 1.6. Деформация сжатия

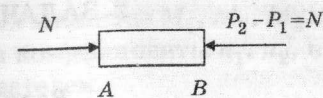


Рис. 1.7. Деформация сжатия

Первый участок – (рис. 1.6).

Второй участок – сжатие разностной силой (рис. 1.7).

Третий участок – сжатие максимальной силой  $P_2$  (рис. 1.8).

Из проведенного анализа внутренних усилий  $N$  по участкам следует, что значения  $N$ ,  $\sigma$  и  $\Delta l$  отрицательны (рис. 1.9).

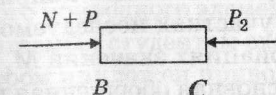


Рис. 1.8. Деформация сжатия

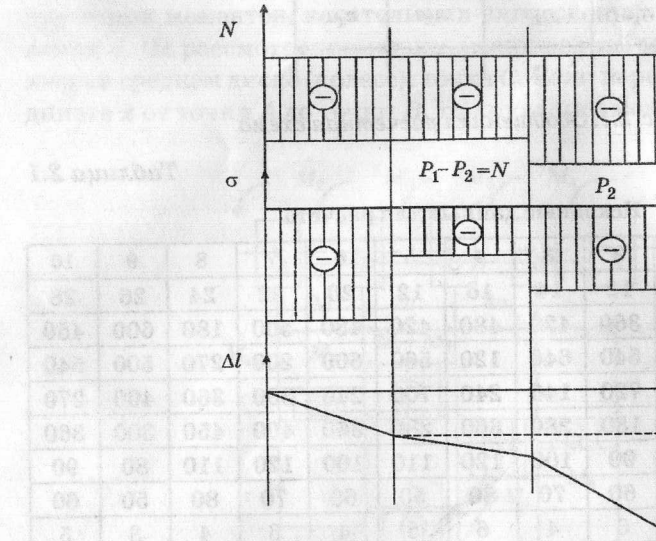


Рис. 1.9. Графическое представление результатов решения задач

Напряжение на первом участке большое ввиду меньшей величины площади. Наклон на первом участке определяется в основном малым значением площади. На третьем участке наклон определяется наибольшим значением силы  $P_2$ .

Если задать силы  $P_1$  и  $P_2$  в точках  $A$  и  $B$ , то на третьем участке сил  $N$  и напряжений  $\sigma$  не будет, а перемещение точки  $C$  равно перемещению точки  $B$ .

## 2. ЗАДАЧА НА КРУЧЕНИЕ

### Варианты заданий

Цель задания: построение эпюр крутящих моментов по сечениям вала, касательных напряжений и углов закручивания на отдельных участках исследуемого при вариации приводного момента  $M_0$  и вариациях значений  $M_i$  на отдельных участках вала.

Основная обобщенная расчетная схема представлена на рис. 2.1.

Исходные данные для расчета приведены в табл. 2.1.

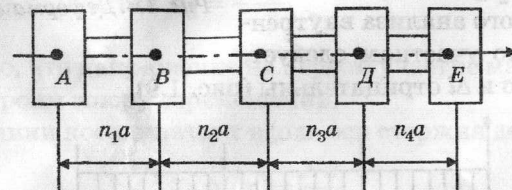


Рис. 2.1. Обобщенная расчетная схема

Таблица 2.1

Исходные данные для расчета

| №                             | 1   | 2   | 3   | 4   | 5   | 6   | 7   | 8   | 9   | 10  |
|-------------------------------|-----|-----|-----|-----|-----|-----|-----|-----|-----|-----|
| $a, \text{мм}$                | 10  | 12  | 14  | 16  | 12  | 20  | 22  | 24  | 26  | 28  |
| $M_1, \text{Н}\cdot\text{мм}$ | 240 | 360 | 420 | 480 | 420 | 480 | 500 | 180 | 600 | 450 |
| $M_2, \text{Н}\cdot\text{мм}$ | 480 | 540 | 640 | 120 | 560 | 600 | 200 | 270 | 500 | 540 |
| $M_3, \text{Н}\cdot\text{мм}$ | 720 | 720 | 140 | 240 | 700 | 240 | 300 | 360 | 400 | 270 |
| $M_4, \text{Н}\cdot\text{мм}$ | 960 | 180 | 280 | 360 | 280 | 360 | 400 | 450 | 300 | 360 |
| $[\sigma], \text{МПа}$        | 80  | 90  | 100 | 120 | 110 | 100 | 120 | 110 | 80  | 90  |
| $[\tau], \text{МПа}$          | 50  | 60  | 70  | 80  | 50  | 60  | 70  | 80  | 50  | 60  |
| $[\phi], \text{угл. мин}$     | 5   | 6   | 4   | 6   | 5   | 4   | 6   | 4   | 3   | 5   |
| №                             | 11  | 12  | 13  | 14  | 15  | 16  | 17  | 18  | 19  | 20  |
| $a, \text{мм}$                | 30  | 32  | 34  | 34  | 38  | 40  | 42  | 44  | 46  | 48  |
| $M_1, \text{Н}\cdot\text{мм}$ | 240 | 280 | 400 | 420 | 450 | 320 | 360 | 380 | 400 | 420 |
| $M_2, \text{Н}\cdot\text{мм}$ | 320 | 350 | 480 | 490 | 260 | 390 | 420 | 440 | 250 | 320 |
| $M_3, \text{Н}\cdot\text{мм}$ | 400 | 420 | 560 | 280 | 320 | 450 | 480 | 270 | 300 | 330 |
| $M_4, \text{Н}\cdot\text{мм}$ | 480 | 210 | 320 | 350 | 390 | 520 | 400 | 330 | 350 | 340 |
| $[\sigma], \text{МПа}$        | 110 | 120 | 130 | 140 | 150 | 160 | 150 | 140 | 150 | 160 |
| $[\tau], \text{МПа}$          | 90  | 70  | 100 | 80  | 70  | 100 | 80  | 60  | 70  | 80  |
| $[\phi], \text{угл. мин}$     | 3   | 5   | 4   | 6   | 5   | 4   | 3   | 5   | 6   | 4   |

Положение приложенных крутящих моментов  $M_1, M_2, M_3, M_4$  и их направление (точки  $A, B, C, D, E$ ) и коэффициенты  $n_1, n_2, n_3, n_4$  задаются в каждом варианте преподавателем.

### Пример решения задачи

Дается единая расчетная схема из одного приводного элемента и четырех потребителей (рис. 2.2). В предлагаемых студентам схемах расчета варируется номер штива, в котором приложен приводной момента  $M_0$ , равный сумме моментов потребителей.

$$M_0 = \sum_{i=1}^4 M_i.$$

Под схемой оставляется свободное место для построения эпюр крутящих моментов, касательных напряжений  $\tau$  и углов закручивания  $\phi$ . На рассмотренном примере приводной момент  $M_0$  расположен на среднем диске (колесе), точка  $C$ . Если перемещаться по координате  $x$  от точки  $A$  до точки  $B$ , то крутящий момент на участке ра-

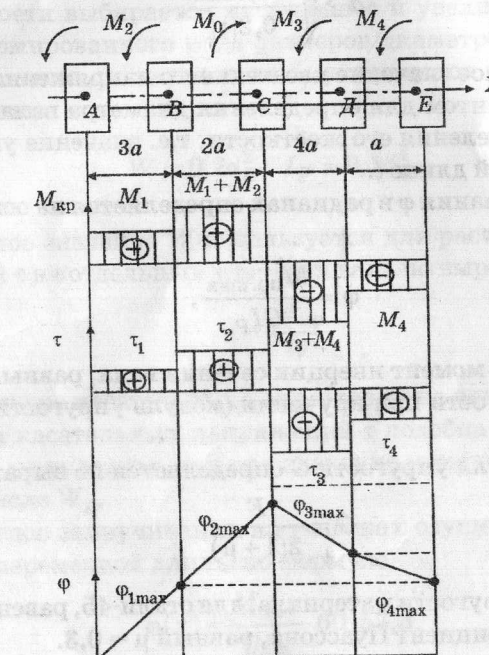


Рис. 2.2. Графическое представление результатов решения задач

вен моменту  $M_1$  и направлен против часовой стрелки, т.е. положительный. В точке  $B$  добавляется момент  $M_2$  и сумма моментов  $M_1$  и  $M_2$  действует до точки  $C$ . В точке  $C$  добавляется суммарный момент  $M_0$  и изменяет знак момента на участке  $CD$ . На участке  $CD$  крутящий момент равен  $M_0 - (M_1 + M_2) = M_3 + M_4$ . В точке  $D$  действие момента  $M_3$  приращается и остается только момент  $M_4$ .

На основе эпюры крутящихся моментов определяется максимальное значение момента на соответствующем участке [1, 4].

На основе полученного значения момента из условия прочности определяется диаметр вала [2].

Допустимое напряжение  $\tau$  определяется из выражения

$$\tau = \frac{M_{\text{пр. max}}}{W_p},$$

где  $W_p$  – момент сопротивления сечения вала диаметром  $d_B$  при кручении, равный  $W_p = 0,2d^3$ .

Из условия прочности диаметр вала равен

$$d \geq \sqrt[3]{\frac{M_{\text{пр. max}}}{0,2[\tau]}},$$

где  $[\tau]$  – допустимое значение касательного напряжения.

Вторым вариантом для определения диаметра вала  $d_B$  является расчет для определения его жесткости, т.е. значение угла поворота  $\phi$  на определенной длине  $l$ .

Угол закручивания  $\phi$  в радианах определяется на основе следующего выражения:

$$\phi = \frac{M_{\text{пр. max}}}{GI_p},$$

где  $I_p$  – полярный момент инерции сечения вала, равный  $I_p = 0,1d_B^4$ ;  $G$  – модуль упругости при кручении (модуль упругости второго рода).

Значение модуля упругости  $G$  определяется по выражению

$$G = \frac{E}{2(1+\mu)},$$

где  $E$  – модуль упругости материала, для стали-45, равен  $E = 2,15 \cdot 10^5$  Н/мм<sup>2</sup>;  $\mu$  – коэффициент Пуассона, равный  $\mu = 0,3$ .

В исходных данных задан угол  $\phi$  в угловых минутах на 10 мм длины.

Введем относительный угол поворота на единицу длины, равный

$$\phi^* = \frac{\phi}{l}.$$

Тогда  $\left[ \phi^* = \frac{M_{\text{пр}}}{GI_p} \right]$  в радианах, а диаметр вала  $d_B$  определяется по выражению

$$d_B \geq \sqrt[4]{\frac{M_{\text{пр. max}}}{G \cdot 0,1[\phi^*]}}.$$

Определение  $[\phi^*]$  осуществляется следующим образом:  $\phi$  задано в угловых минутах, а  $l = 10$  мм, а  $\phi^*$  равно

$$\phi^* = \frac{\phi}{10 \cdot 60 \cdot 57,3}, \text{ рад.}$$

Значение  $\phi^*$  получается в рад/мм и подставляется в выражение для расчета диаметра вала из условия жесткости.

Из полученных значений диаметра вала  $d_B$  по условиям прочности и жесткости выбирается наибольшее и увеличивается до значения из нормированного ряда размеров диаметров вала. Для выбранного значения диаметра вала  $d_B$  уточняются значения  $W_p$  и  $I_p$  по выражениям

$$W = 0,2d_B^2, \quad I_p = 0,1d_B^4.$$

Полученное значение  $W$  используется для расчета касательных напряжений  $\tau$  на отдельных участках вала по выражению

$$\tau = \frac{M_{\text{пр}}}{W}$$

и строится эпюра касательных напряжений на отдельных участках вала. Эпюра касательных напряжений  $\tau$  подобна эпюре крутящих моментов  $M$  на участках, так как значение моментов делится на одно и тоже число  $W_p$ .

Расчет углов закручивания на участках осуществляется в зависимости от переменной длины по формуле

$$\phi(x) = \frac{M_{\text{пр}}x}{GI_p} \cdot 60 \cdot 57,3.$$

На первом участке  $x$  меняется в диапазоне  $x = 0 \dots 3a$  и представляет собой линейную зависимость. Максимальное значение угла закручивания

$$\varphi_{1\max} = \frac{M_{\text{пр1}} \cdot 3a}{GI_P} \cdot 60 \cdot 57,3.$$

На эпюре углов закручивания получаем прямую линию от нуля до  $\varphi_{1\max}$ . На такой же угол поворачивается вал от точки  $B$  до точки  $E$ . На втором участке угол закручивания

$$\varphi_{2\max} = \varphi_{1\max} + \frac{(M_1 + M_2) \cdot 2a}{G \cdot I_P} \cdot 60 \cdot 57.$$

На такой же угол поворачивается вал на участке  $CE$ . На третьем участке момент меняет знак и уже будет закручиваться в обратную сторону, т.е. со знаком минус. Выражение для угла закручивания имеет вид

$$\varphi_{3\max} = \varphi_{2\max} - \frac{(M_3 + M_4) 4a}{G \cdot I_P} \cdot 60 \cdot 57,3.$$

На тот же угол повернется вал на участке  $DE$ . На четвертом участке угол закручивания

$$\varphi_{4\max} = \varphi_{3\max} - \frac{M_4 a}{GI_P} \cdot 60 \cdot 57,3.$$

Положение начального сечения в точке  $A$  отличается от поперечного конечного сечения в точке  $E$  на угол  $\varphi_{4\max}$ . Наибольший угол поворота сечения вала будет в точке  $C$ , где приложен максимальный момент  $M_0$ . Поэтому жесткость вала  $C$  определяется по выражению

$$C = \frac{M_{\text{пр. max}}}{\varphi_{2\max}}.$$

Построение эпюр  $M_{\text{кр}}$ ,  $\tau$ ,  $\varphi$  дает полное представление об особенностях работы исследуемого вала в различных сечениях в зависимости от координаты  $x$ . Если расчеты диаметра вала производить по отдельным участкам, то получится ступенчатый вал для заданных условий прочности  $[\tau]$  и жесткости  $[\varphi^*]$ .